

КВАНТОВЫЕ МАГНИТО-РАЗМЕРНЫЕ ЭФФЕКТЫ В МЕТАЛЛАХ С ОТКРЫТЫМИ ПОВЕРХНОСТЯМИ ФЕРМИ

С.С.Недорезов, В.Г.Песчанский

Получены гигантские квантовые осцилляции намагниченности металлических пластин, обусловленные электронами проводимости на открытых сечениях поверхности Ферми. В магнитных полях, при которых происходит вырождение квантовых уровней энергии электронов, возможно появление неоднородного состояния (эффект Шенберга).

Квантовые осцилляции термодинамических характеристик электронов проводимости в слое металла в параллельном магнитном поле H , предсказанные Косевичем и Лифшицем [1], были сравнительно недавно обнаружены при исследовании электропроводности нитевидных кристаллов (вискеров) сурьмы [2], а также при измерении намагниченности вискеров ряда металлов [3]. В пленках металла возможны [4] квантовые осцилляции в слабых магнитных полях. Подобные осцилляции наблюдались в электропроводности пленок висмута [5].

Отмеченные выше эффекты относятся к металлам с замкнутыми электронными орбитами в магнитном поле в предположении зеркального отражения электронов границей образца. Периоды квантовых осцилляций в зависимости от H или толщины слоя L определяются площадью усеченных размерами образца экстремальных электронных орбит [1]. В окрестности поля H_c отсекания экстремальных орбит размерами образца, происходит резкий переход от осцилляций, характерных для массивного металла, к магнито-размерным осцилляциям. Анализ квантовых осцилляций в области полей $H \sim H_c$ дан в работе [6]. В случае диффузного рассеяния электронов границей образца осцилляции, соответствующие данной экстремальной орбите, выпадают [7] и имеют место квантовые осцилляции на неэкстремальных сечениях поверхности Ферми [8].

В связи с тем, что экстремальное исследование квантовых магнито-размерных эффектов стало вполне реальным [2, 3, 5], мы обращаем внимание на возможность квантовых эффектов, обусловленных электронами с открытыми орбитами. В массивном металле, как известно, электроны на открытых сечениях поверхности Ферми не участвуют в создании квантовых осцилляций. В тонком образце, толщина которого L меньше длины свободного пробега носителей заряда l финитность движения электронов вдоль нормали к границе образца приводит к квантованию энергии носителей заряда, принадлежащих открытым сечениям поверхности Ферми. Вклад этих электронов в термодинамические и кинетические характеристики тонких пластин оказывается весьма существенным и обуславливает появление новых осцилляционных эффектов, исследование которых позволяет получить детальную информацию о форме открытых электронных орбит.

В предположении зеркального отражения носителей заряда на границе образца квантовые уровни энергии электронов проводимости в пластине в параллельном магнитном поле определяются квазиклассическим условием квантования [1]

$$S \left(\epsilon, p_z, p_x; \frac{LeH}{c} \right) = \frac{2\pi\hbar e H}{c} (n + \gamma), \quad (1)$$

где S – площадь ограниченного прямыми p_x и $p_x + \frac{LeH}{c}$ (см. рис. 1, а)

сечения изоэнергетической поверхности $\epsilon(p) = \epsilon$ плоскостью $p_z = \text{const}$. Магнитное поле направлено вдоль оси z , нормаль к пластине – вдоль оси y . Величина γ в формуле (1) меньше или равна единице, последнее соответствует аппроксимации поверхностного потенциала бесконечно высоким потенциальным барьером. Здесь e – заряд электрона, \hbar – постоянная Планка, c – скорость света.

В случае открытых электронных орбит площадь S в (1) является периодической функцией в зависимости от p_x с периодом, равным $\hbar G$, где G – период обратной решетки в направлении открытости орбит. При значениях магнитного поля

$$H_j = j \frac{c \hbar G}{e L}, \quad j = 1, 2, 3, \dots \quad (2)$$

площадь S не зависит от p_x и равна

$$S \left(\epsilon, p_z, p_x; \frac{LeH_j}{c} \right) = j \sigma(\epsilon, p_z), \quad (3)$$

где σ – площадь открытого сечения изоэнергетической поверхности в пределах ячейки обратной решетки. Отсюда и из (1) следует, что при значениях поля $H = H_j$ квантовые уровни энергии не зависят от компоненты квазимпульса p_x . В полях $H \neq H_j$ вырождение уровней снимается. Это приводит к характерным особенностям в плотности состояний электронов с открытыми орбитами и осцилляционной зависимости термодинамических и кинетических величин от H и L .

Рассмотрим квантовые осцилляции намагниченности электронов проводимости. В полях $H \neq H_j$, но удовлетворяющих условию

$$\frac{a}{L} \ll \frac{|H - H_j|}{H_1} \ll 1, \quad (4)$$

для осциллирующей части намагниченности получаем

$$M_{\text{осц}} = \frac{G}{\pi^2 L^{3/2}} \sqrt{\frac{e}{c}} \left(\rho_e - \frac{\sigma}{\hbar G} \right) \left(\frac{\partial \sigma}{\partial \zeta} \right)^{-1} \left| \frac{\partial^2 \sigma}{\partial p_{ze}^2} \right|_{s=1}^2 \frac{1}{R_s}^{-1/2} \sqrt{\cos \alpha} \times$$

$$\times \frac{1}{\sqrt{j}} |H - H_j|^{-\frac{1}{2}} \sum_{k=1}^{\infty} \frac{1}{k^2} \sin \left\{ k \left[\frac{L\sigma}{\hbar^2 G} + \frac{eL^2}{j c \hbar^2 G} \left(\rho_e - \frac{\sigma}{\hbar G} \right) (H - H_j) \right] \pm \frac{\pi}{4} \pm \frac{\pi}{4} \right\} \times \\ \times \cos \left(\frac{kj}{2m_e} \frac{\partial \sigma}{\partial \zeta} \right) \Psi \left(\pi k \frac{TL}{\hbar^2 G} \frac{\partial \sigma}{\partial \zeta} \right), \quad (5)$$

где a — постоянная решетки, масса m_e определяет спиновое расщепление уровней энергии электрона в магнитном поле, $\Psi(z) = z/\sinh(z)$, ρ_e — экстремальная хорда поверхности Ферми $\xi(p) = \zeta$ в направлении нормали N к пластине, α — угол между N и нормалью к поверхности Ферми в точках ее пересечения экстремальной хордой и R_s — радиусы кривизны в этих точках (см. рис. 6), знаки при $\pi/4$ в аргументе синуса определяются, соответственно, знаками $(H - H_j)$ и $\partial^2 \sigma / \partial p_{ze}^2$ в точке p_{ze} экстремальности площади σ , $\gamma = 1$.

При значениях поля $H = H_j$ для $M_{\text{осц}}$ имеем следующее выражение

$$M_{\text{осц}} = M_j \equiv - \frac{1}{\pi^2 \sqrt{2\pi}} \frac{e}{\hbar c} \sqrt{\frac{G}{L}} \left(\frac{\partial \sigma}{\partial \zeta} \right)^{-1} \left| \frac{\partial^2 \sigma}{\partial p_{ze}^2} \right|^{-\frac{1}{2}} \frac{\sigma}{j} \sqrt{\cos \alpha} \times$$

$$\times \sum_{k=1}^{\infty} \frac{1}{k^{3/2}} \sin \left(k \frac{L\sigma}{\hbar^2 G} \pm \frac{\pi}{4} \right) \cos \left(\frac{kj}{2m_e} \frac{\partial \sigma}{\partial \zeta} \right) \Psi \left(\pi k \frac{TL}{\hbar^2 G} \frac{\partial \sigma}{\partial \zeta} \right), \quad (6)$$

где верхний знак в аргументе синуса выбирается при $\partial^2 \sigma / \partial p_{ze}^2 > 0$, нижний — при $\partial^2 \sigma / \partial p_{ze}^2 < 0$. В полях $|H - H_j| \sim H_1 a/L$ формулы (5) и (6), естественно, сводятся.

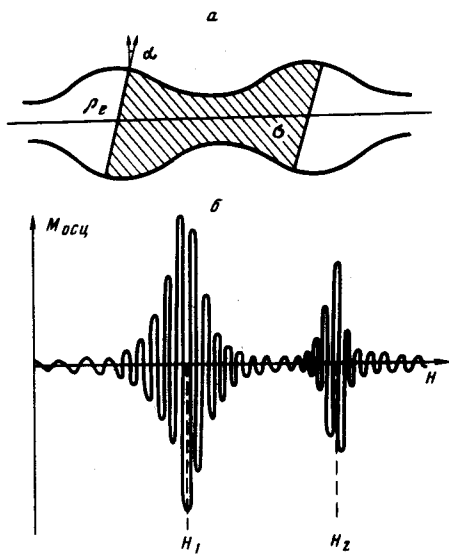
Из полученных результатов для $M_{\text{осц}}$ следует, что с изменением магнитного поля намагниченность вблизи H_j испытывает резкие всплески, амплитуда которых при $H \rightarrow H_j$ увеличивается как $|H - H_j|^{-\frac{1}{2}}$, достигая значений M_j (см. рис. 6).

Период осцилляций равен

$$\Delta H = 2\pi j \frac{c\hbar^2 G}{eL^2} \left| \rho_e - \frac{\sigma}{\hbar G} \right|^{-1} \quad (7)$$

и выражается через экстремальные значения хорды и площади σ , соответствующих данному сечению поверхности Ферми (рис. 6). В промежуточных полях $H \neq H_j$ осцилляции намагниченности имеют более сложную, чем (5), полевую зависимость, определяемую усеченными площадями экстремальных электронных орбит [1]. В этих полях амплитуда осцилляций порядка

$$\left| \frac{M_{\text{осц}}}{M_j} \right| \sim \left(\frac{a}{L} \right)^{\frac{1}{2}} \ll 1. \quad (8)$$



Легко заметить, что при $H \approx H_j$ амплитуда рассмотренных осцилляций сравнима с вкладом в $M_{осц}$ электронов на экстремальных замкнутых сечениях поверхности Ферми с орбитами, не касающимися границ образца. В металлах со сложным законом дисперсии носителей заряда осцилляции намагниченности обусловлены электронами с различных участков поверхности Ферми. Вклад в $M_{осц}$ открытых сечений может быть легко выделен благодаря существенной модуляции описанных выше магниторазмерных осцилляций (см. рис. 6) и зависимости M_j от L .

С увеличением температуры T осцилляции экспоненциально затухают и существенны при $T < T_o$, где $T_o = \hbar^2 G / (\pi L \partial \sigma / \partial \zeta)$. Полагая для оценок $\partial \sigma / \partial \zeta \sim 2 \pi m$ (m — масса свободного электрона), для пластины толщиной $L \approx 10^{-3}$ см имеем $T_o \approx 0,3$ К, $H_1 \approx 40$ кЭ и $\Delta H \approx 0,4$ Э. При температурах $T < T_o$ и $H \rightarrow H_j$ магнитная восприимчивость χ может достигать больших значений, что приводит к неустойчивости однородного состояния, т. е. к эффекту Шенберга [9]. Как и в массивных металлах (см. [10]), неоднородная структура реализуется в условиях $|M| \ll |H| \ll |\chi| \gg 1$.

Отмеченные аномалии в намагниченности электронов проводимости обусловлены соответствующими особенностями в плотности электронных состояний и проявляются в квантовых осцилляциях термодинамических и кинетических величин. Для наблюдения указанных эффектов необходимы достаточно чистые образцы ($l > L$), удовлетворяющие условию зеркальности отражения электронов, на границе образца.

Благодарим Э.И.Рашба за полезное обсуждение полученных результатов.

Харьковский
государственный университет
им. А.М.Горького
Физико-технический институт
низких температур
Академии наук Украинской ССР

Поступила в редакцию
17 марта 1980 г.

Литература

- [1] А.М.Косевич, И.М.Лифшиц. ЖЭТФ, 29, 743, 1955.
 - [2] Ю.П.Гайдуков, Е.М.Голямина. ЖЭТФ, 74, 1936, 1978.
 - [3] В.М.Пудалов, С.Г.Семенчинский. Письма в ЖТФ, 4, 38, 1978.
 - [4] С.С.Недорезов. ЖЭТФ, 56, 299, 1969 .
 - [5] В.В.Андреевский, Ю.Ф.Комник. ФТТ, 12, 1582, 1970.
 - [6] С.С.Недорезов. ЖЭТФ, 67, 1544, 1974 .
 - [7] М.Я.Азбель. ЖЭТФ, 34, 754, 1958.
 - [8] В.Г.Песчанский, В.В.Синолицкий. Письма в ЖЭТФ, 16, 484, 1972 .
 - [9] D. Shoenberg. Phil. Trans. Roy. Soc. (London), A255, 85, 1962 .
 - [10] И.М.Лифшиц, М.Я.Азбель, М.И.Каганов. Электронная теория металлов. М., изд. Наука, 1971.
-